

論文・Paper

ガラス状 PbO-GeO₂ 系及び PbO-B₂O₃ 系の ラマンスペクトル

小山田 了三・萩原 尚男*

(長崎大学 教育学部, * 浅野工学専門学校)

ガラス状 PbO-GeO₂ 系及び PbO-B₂O₃ 系のラマンスペクトルを測定し、これを解析した。ガラス状純 GeO₂において、バンドは 300~600 (ピーク位置は 410), 760, 860 及び 970 cm⁻¹ に観測された。410, 760 及び 860 cm⁻¹ のバンドをそれぞれ、4 面体構造で T_d 対称をもつ GeO₄ 単位の ν_4 , ν_1 及び ν_3 モードに帰属した。PbO-GeO₂ 系においては、新しいバンドが 750~850 cm⁻¹ に現われ、このバンドは偏光分析により 2 個のバンドに分けられる。この新しいバンドの一つ、高エネルギー側のバンドは、添加 PbO 量の増加に伴い低波数側へシフトする。この波数は PbO-GeO₂ 組成の近傍ではほぼ一定の値を示す。更に低エネルギー側のバンドの同様なシフトも観測された。これは正方晶 GeO₂ (ルチル型) のような 6 配位 Ge 原子の生成に関係するものと思われる。ラマンスペクトルにおけるこのようなバンドのシフトの傾向は、既報の赤外線吸収スペクトルのバンドのシフトと同様である。

ガラス状 B₂O₃において、バンドは 450, 650, 806, 1260 及び 1470 cm⁻¹ に観測された。650, 806, 1260 及び 1470 cm⁻¹ のバンドを、それぞれ平面三角形構造で D_{3h} 対称をもつ BO₃ 単位の ν_4' , ν_1' , ν_3' 及び ν_5' 振動モードに帰属した。PbO-B₂O₃ 系においては、添加 PbO 量の増加に伴い 1260 及び 1470 cm⁻¹ のバンドは一つのブロードなバンドとなり、低波数側へシフトする。すなわち PbO 30 mol% では 1350 cm⁻¹ に、PbO 70 mol% では 1245 cm⁻¹ となる。これは Pb³⁺ イオン及び BO₃ 群間の相互作用効果を示唆していると考えられる。また 1000~1150 cm⁻¹ に新しいバンドが現われた。バンドの強度は PbO 濃度約 50 mol% までは増加し、それ以上では減少する。この事実はこの系に存在する BO₃ 単位の数と関連づけて考えられる。

上述の帰属に基づいて GeO₄ 及び BO₃ 構造単位の力の定数を GF マトリックス法で算出した。GeO₄ の f_r , f_ϕ 及び $f_{r\phi}$ の値はそれぞれ 5.45, 0.55 及び 0.13 (mdyn/Å) であり、BO₃ についてはそれぞれ 6.13, 0.80 及び 0.76 (mdyn/Å) であった。

(1977 年 5 月 18 日受付)

Raman Spectra of Glassy PbO-GeO₂ and PbO-B₂O₃ Systems

Ryozo OYAMADA and Hisao HAGIWARA*

(Faculty of Education, Nagasaki University, Nagasaki-shi, 852)
(* Asano Institute of Technology, Yokohama-shi, 221)

Raman spectra of glassy PbO-GeO₂ and PbO-B₂O₃ systems were measured and analyzed. For pure glassy GeO₂, several bands were observed at 300~600 (peak position: 410), 760, 860 and 970 cm⁻¹. The bands at 410, 760 and 860 cm⁻¹ were assigned respectively to ν_4 , ν_1 and ν_3 mode of the vibration of the tetrahedral GeO₄ which has T_d symmetry. For PbO-GeO₂ system a new band appeared at 750~850 cm⁻¹ and it could be separated into two bands by the polarization analysis. One of these new bands, the band of higher energy, corresponding to the band at 860 cm⁻¹ of glassy GeO₂, was found to shift toward a lower wavenumber with increasing PbO content. The wavenumber of this band showed a nearly constant value in the neighbourhood of PbO-GeO₂ composition. The similar shift of another band of lower energy was also found. The fact might be related to the 6-folded coordination of Ge in tetragonal GeO₂ (rutile type). Such a trend of band shifting found in Raman spectra is similar to that of the infrared absorption spectra previously reported by the authors.

For pure glassy B_2O_3 , several bands were also observed at 450, 650, 806, 1260 and 1470 cm^{-1} . The bands at 650, 806, 1260 and 1470 cm^{-1} were assigned respectively to ν_4' , ν_1' , ν_3' , and ν_3' mode of the vibration of the triangular BO_3 which is D_{3h} symmetry. For $PbO-B_2O_3$ system, the bands at 1260 and 1470 cm^{-1} were united into a broad band and showed the shift toward a lower wavenumber with increasing PbO content, e.g. 1350 cm^{-1} for PbO 30 mol% and 1245 cm^{-1} for PbO 70 mol%, suggesting the effect of the interaction between Pb^{2+} ion and BO_3 group. A new band appeared at 1000~1150 cm^{-1} , and could be assigned to ν_3 mode of BO_4 tetrahedral structure (T_d symmetry). The intensity of this band increased up to about PbO 50 mol%, and then decreased with further increase of PbO . The fact might be related to the number of BO_4 structural units which are found in the system.

Based on the above assignments, we estimated the force constants in GeO_4 and BO_3 structural units by GF matrix method. The values of f_r , f_ϕ and $f_{r\phi}$ for GeO_4 were 5.45, 0.55 and 0.13 (mdyn/ \AA) and for BO_3 were 6.13, 0.80 and 0.76 (mdyn/ \AA), respectively.

[Received May 18, 1977]

1. 緒 言

アルカリゲルマン酸塩ガラスでは、 Ge の酸素配位数が4又は6のものの存在が知られており^{1), 2)}、最近 Ge の配位数と結合エネルギーの関係が究明されるまでに至っている³⁾。 $PbO-GeO_2$ 系ガラスにおいても両配位数の存在が指摘されており⁴⁾、 Ge の配位数の変化は興味ある問題である。

一方、ホウ酸塩系ガラスでは、 BO_3 群並びに BO_4 群の存在がよく知られており⁵⁾、そのアルカリ塩についてのいわゆるホウ酸異常現象の究明が数多くなされ、中でもN.M.R.による研究は⁶⁾興味ある結果である。 $PbO-B_2O_3$ 系についても、4配位ホウ素の PbO 濃度に対する変化がN.M.R.によって研究されている⁷⁾。

これらゲルマン酸塩系並びにホウ酸塩系については、赤外線吸収による研究はかなり行われているが^{8), 9)}、ラマン分光の研究は比較的少ない。著者らは、先に $PbO-SiO_2$ 系ガラスのラマン分光結果について、他の物性値の測定結果と比較検討して、その物性と構造の関係を考察した^{10), 11)}。本報告では、前述のようにガラス組成と関連して網目形成イオンの配位数が変化するとみられている $PbO-GeO_2$ 、 $PbO-B_2O_3$ 両2元系ガラスのラマンスペクトルを測定し、この結果と既報の赤外線吸収スペクトルの結果とから^{12), 13)}、これら2ガラス系の構造について考察を試みる。

GeO_2 結晶については、正方晶系に属するものと六方晶系に属するものとが知られており、 GeO_2 ガラスの原子配列状態は六方晶に類似しているとされている^{14), 15)}。しかし、Scottは正方晶系と三方晶系の結晶を挙げ、これらのラマンスペクトルを測定して振動数の帰属を行っている¹⁶⁾。更に GeO_2 ガラスは三方晶の D_3 構造(α -石英型)に類似した GeO_4 4面体の短距離規則性をもつとしている¹⁶⁾。他方、MozziらはX線動径分布関数の研究から、 SiO_2 ガラスは Si 原子の第2近接原子までの範囲でクリストバライト結晶の原子配置と同じであり、 $Si-O-Si$ 結合角により不規則性が生ずると述べてい

る¹⁷⁾。このように、ガラス状態の原子配置が結晶固体との類似性から研究され、短距離規則性の範囲が明らかにされつつあるが、 GeO_2 ガラスでは上述のように4面体 GeO_4 構造単位のような小単位が明らかにされているにすぎない。したがって、本研究でも粗い近似ではあるが、4面体 GeO_4 構造単位に基づいて、 GeO_2 ガラスのラマンスペクトルの解析を試みた。

4面体構造をもつ GeO_4 単位は T_d 点群の対称性をもち¹⁸⁾、4種の基準振動 A_1+E+2F_2 はすべてラマン活性である¹⁹⁾。またルチル型 GeO_6 8面体構造単位は D_{4h} 点群に属し、そのラマン活性な基準振動は $A_{1g}+B_{1g}+B_{2g}+E_g$ の4種である¹⁶⁾。

次に B_2O_3 結晶は六方晶系に属し、 BO_3 平面三角形と BO_4 4面体の頂点共有の連なりとみられる構造であるとされている²⁰⁾。 B_2O_3 ガラスについても、わずかながら BO_4 4面体構造があるが、おもなものは BO_3 群であるとする報告が多い^{8), 9)}。ガラスでは、種々のアルカリホウ酸塩結晶、及び有機ホウ酸塩結晶の構造との類推からBoroxol群($B_3O_3(O^-)_3$)の存在が提示され^{21), 22)}、更にX線動径分布関数の研究からBoroxol群のO端での結合角の相違及び非結合端の存在などによって不規則性が生ずるものと考えられている²³⁾。KristiansenらはBoroxol骨格について、メタホウ酸からその基準振動の帰属を行い、 819 cm^{-1} のラマン振動数はBoroxol骨格の A'_1 基準振動のうち、 $B_3O_3(O^-)_3$ 環の三方変角振動(Trigonal deformation)であるとし、更に、 B_2O_3 ガラスについても 808 cm^{-1} に現われるラマン振動は、この 819 cm^{-1} に対応するものと見なしている²⁴⁾。

一方、ホウ酸塩系ガラスをより基本的な BO_3 構造単位及び BO_4 構造単位に基づいて検討している研究者らもいる^{6)~9)}。著者らもこの立場をとり、 BO_3 構造単位等と添加した網目修飾イオンとの相互作用に注目して、既に $PbO-SiO_2$ 系ガラスなどの物性と構造の関係を検討してきた^{11)~13)}。したがって、前述の $PbO-GeO_2$ 系ガラスと同様に、 $PbO-B_2O_3$ 系ガラス構造についても、Boroxol

骨格自体を構成している BO_3 構造単位に基づいて検討を進める。

$\text{PbO-B}_2\text{O}_3$ 系ガラスにおいて考えられる BO_4 構造単位は、上述の GeO_4 構造単位と同様に4面体構造で T_d 点群に属し、その振動型も同様である。一方 BO_3 は平面三角形の構造で D_{3h} 点群に属し、ラマン活性な振動は $A_1' + 2E''$ の3種である²⁵⁾。

本実験においては、上述のように急冷 PbO-GeO_2 及び $\text{PbO-B}_2\text{O}_3$ 各2元系ガラス状態のラマンスペクトルを測定し、これらの結果を検討して、 GeO_4 、 BO_3 及び BO_4 各振動の帰属を試みた (GeO_6 の振動は明確には認められなかった)。更に、各系ガラス状態中に考えられる GeO_4 、 BO_3 及び BO_4 などの構造単位の存在と、各2元系において組成変化に伴う単位構造と添加した修飾イオン (Pb^{2+})との相互作用について考察する。

2. ラマン効果の測定

試料は既報^{12), 13)}で述べた方法で作製したガラスの直交2面を研磨して用意した。光源にはArイオンレーザー(Coherent Radiation Co.)を4880 Åで用い、ラマ

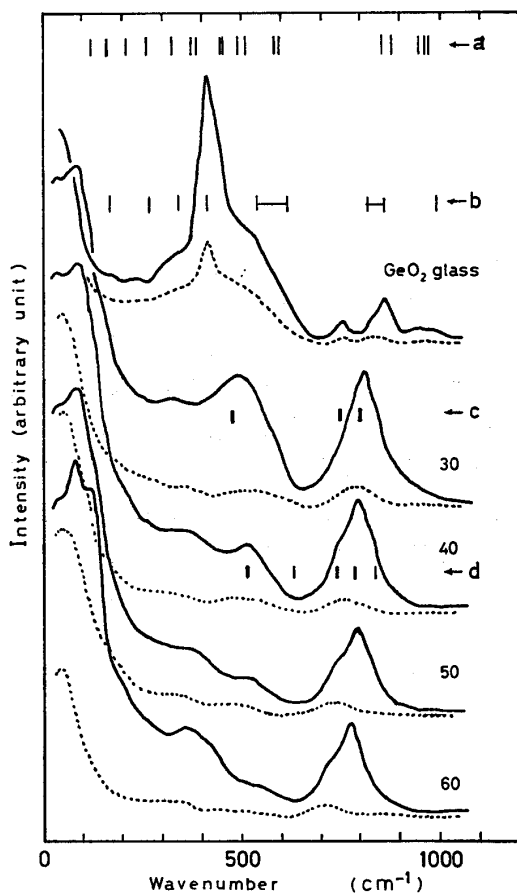


Fig. 1. Raman spectra of glassy PbO-GeO_2 system. Dotted lines show the spectra of the polarization measurement. Numerals in the figure show PbO mol%. The positions of Raman bands for trigonal GeO_2 crystal (a) assigned by Scott¹⁶⁾ and those for glassy PbO-GeO_2 system (b, c, d) reported by Morozov et al.²⁶⁾ are also shown.

ン散光の検出はラマログ分光光度計(Spex Co.)によって行った。測定は約 50 cm^{-1} から 1500 cm^{-1} までの範囲を室温で行った。検出の走査は $50 \text{ cm}^{-1}/\text{min}$ で行い、ラマンバンドの波数はデジタル表示によって読みとった。

3. 結 果

3.1 PbO-GeO_2 系ガラス

PbO-GeO_2 系ガラスのラマンスペクトルを測定し、その代表例を図1に示した。図中の点線で示したスペクトルは 90° 偏光板を用いた測定結果である。また参考のため、Scott¹⁶⁾による三方晶 GeO_2 のラマンバンドの波数をa、及びMorozovら²⁶⁾による PbO-GeO_2 系ガラス(PbO 濃度0~45 mol%)のラマンバンドの波数位置をb(GeO_2 ガラス)、c(PbO 濃度30 mol%)、d(PbO 濃度40 mol%)として示した。また PbO 濃度に対する高波数側のバンドのピーク位置の変化を図2に示した。

3.1.1 GeO_2 ガラス GeO_2 ガラスでは、おもなバンドが $300\sim600 \text{ cm}^{-1}$ (ピーク位置 410 cm^{-1})、 760 cm^{-1} 、 860 cm^{-1} 、及び 970 cm^{-1} に現われた。これらのバンドの位置は、Scottによる正方晶 GeO_2 及び三方晶 GeO_2 のラマンバンドの波数と比較すると、後者の波数によそ対応している。しかしながら、図1から明らかなよう

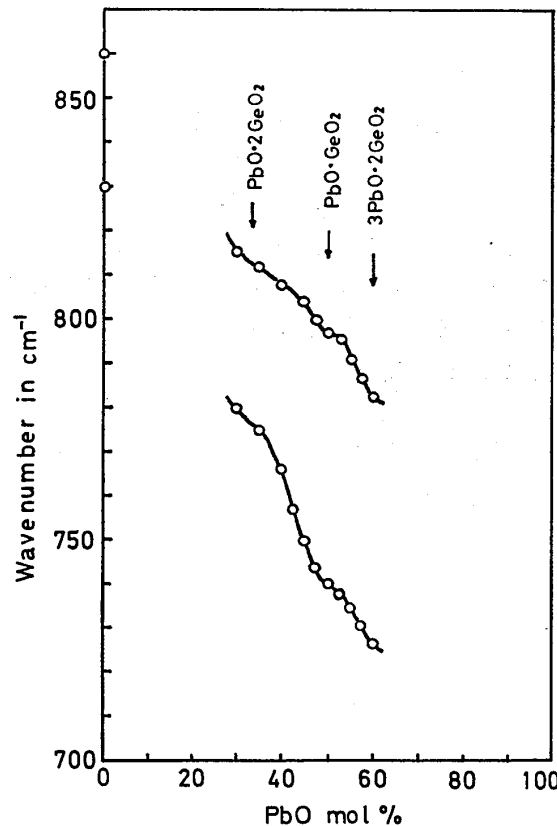


Fig. 2. Relationship between the positions of the peak maxima of two kinds of the high-wave number bands and composition of glassy PbO-GeO_2 system. The compositions of the compounds of this system are also shown.

に、Scott による 121 cm^{-1} に対応するバンドは本結果には認められず、逆に本結果の 760 cm^{-1} に対応するバンドは Scott の結果には認められない。また、本結果の $300\sim600\text{ cm}^{-1}$ の範囲に Scott による数種のバンドの波数が対応するが、ピーク位置の 410 cm^{-1} に対応するバンドは Scott の結果には認められない。

次に、本結果を Morozov らの結果²⁶⁾（図 1 b）と比較するとかなり良い対応をなしているが、 760 cm^{-1} のバンドは Morozov らの結果には認められず、また $810\sim900\text{ cm}^{-1}$ （ピーク位置 860 cm^{-1} ）のバンド及び 970 cm^{-1} のバンドは、Morozov らの結果ではそれぞれ $820\sim860\text{ cm}^{-1}$ 及び 987 cm^{-1} となり、それが認められる。

以上のような結晶とガラス、及び同じガラス同士間ににおける結果の相違は、 GeO_4 構造単位に対する周囲原子の配置の相違に起因するものと考えられる。特に、ガラス状態ではその作製方法の相違（本試料が急冷したものであること）によって、上述のような相違が生ずるものと考えられる。したがって、周囲原子の配置とその影響を考えなければならないが、その取扱いは複雑で大変困難である。それゆえ、先にも述べたように、本研究では GeO_4 構造単位に基づいて結果の検討を行う。

本結果のうち、 860 cm^{-1} のバンドは先に報告した¹²⁾赤外線吸収バンド 870 cm^{-1} に対応している。偏光測定によると、このバンドは低エネルギー側 (830 cm^{-1} 付近) に他のバンドのわずかな重なりが認められる。 860 cm^{-1} のバンドは、上述のように GeO_4 構造単位を考えた場合には、前報¹²⁾と同様に GeO_4 振動の ν_3 モードに帰属される。しかしながら、低エネルギー側のバンドは、Scott による三方晶並びに正方晶 GeO_2 のラマンバンド中にも認められず、また本研究で試みた粗い振動数の見積りでは明らかにすることはできなかった。

次に 410 cm^{-1} 及び 760 cm^{-1} のラマンバンドの帰属はまだ行われていないので、この帰属を行った。

まず、 GeO_4 振動の全対称伸縮振動の ν_1 モードについて CO_2 型振動²⁷⁾ を仮定し、 GeF_4 振動の ν_1 モード (738 cm^{-1})²⁸⁾ から見積る近似計算 ($\text{Ge}-\text{F}$ と $\text{Ge}-\text{O}$ の力の定数を同一と仮定) を行うと、 ν_1 モードの波数として 767.5 cm^{-1} が得られる。これは上記の 760 cm^{-1} の波数とほぼ一致する。したがって、このバンドは GeO_4 振動の ν_1 モードに帰属できるものと思われる。また、 410 cm^{-1} のバンドは ThGeO_4 における GeO_4 振動の ν_4 モード (415 cm^{-1}) 及び UGeO_4 における GeO_4 振動の ν_4 モード (410 cm^{-1}) などの帰属²⁹⁾を参考にすると、 GeO_4 振動の ν_4 モードであると考えられる。

3.1.2 PbO-GeO₂ ガラス PbO を添加すると、 GeO_2 ガラスの 410 cm^{-1} 及び 760 cm^{-1} のバンドは、前者は減衰してそのピークが不明確となり、後者は消滅する。また GeO_2 ガラスの 500 cm^{-1} 付近に肩を示すバン

ドも、PbO 濃度の増加に伴って減衰する。これらの結果のうち、PbO 濃度 30 及び 40 mol% のスペクトルを Morozov らの結果²⁶⁾（図 1 c, d）と比較すると、ほぼ対応が認められる。しかしながら Morozov らの報告では、PbO 濃度 10 mol% で 815 cm^{-1} に現われたバンドが、その強度を急に増加しながら、PbO 濃度 45 mol% での 777 cm^{-1} までシフトするとあるが（図 1 c, d における 800 cm^{-1} , 790 cm^{-1} 付近）²⁶⁾、本結果では特に強度の増加は認められなかった。また、PbO 濃度 40 mol% における 632 cm^{-1} （図 1 d）のバンドも本結果では認められなかった。

図 1において、PbO 濃度 30 mol% の 815 cm^{-1} から、PbO 濃度 60 mol% の 780 cm^{-1} までシフトするバンドは、偏光測定により 2 種のバンドに分割することが認められた。この結果は、先に報告した赤外線吸収バンドの結果¹²⁾と一致する。この 2 種のバンドのうち、高エネルギー側のバンドは、偏光測定の結果と比較して、 GeO_2 ガラスの 860 cm^{-1} の ν_3 モードに対応するものと思われる。この高エネルギー側のバンドは、図 2 に示したような組成に対する変化を示し、極大点化合物 $\text{PbO}\cdot\text{GeO}_2$ の組成付近数 mol% の間では、ほぼ一定波数となる。また、低エネルギー側のバンドは、PbO 濃度 30 mol% の 780 cm^{-1} から、PbO 濃度 60 mol% の 728 cm^{-1} までシフトし、高エネルギー側バンドのシフトと同様な傾向を示す。これらの波数シフトの傾向は、赤外線の結果¹²⁾において認められた波長シフトと同様である。

100 cm^{-1} 付近のバンドは PbO が添加された場合、新しく現われるが、このバンドは図 1 から見られるように PbO 濃度の増加に伴ってその強度が増加する。更に、 130 cm^{-1} のバンドが PbO 高濃度側 (60 mol%) で現われた。これは PbO-SiO_2 系ガラスの場合¹⁰⁾と多少異なっているので、 PbO-GeO_2 系と PbO-SiO_2 系とでガラス構造が多少異なることを示唆するものと考えられる。

以上の結果から PbO-GeO_2 系ガラスは、先に著者らが報告した PbO-SiO_2 系の場合¹¹⁾と同様に、 GeO_4 単位と Pb^{2+} イオンとの相互作用によって考察することができる。すなわち、PbO の添加により、 GeO_2 ガラスの GeO_4 単位構造はゆがみを生じ、相対的に見れば GeO_4 振動の対称性が崩れる。4面体振動における全対称伸縮振動は球対称性に関係する¹⁹⁾ので、このように対称性が崩れることが ν_1 モード (760 cm^{-1}) の消滅する原因であろうと考えられる。また変角振動 ν_4 モード (410 cm^{-1}) 及び非対称伸縮振動 ν_3 モード (860 cm^{-1}) は、 Pb^{2+} イオンの影響を受けて、前者は不明確となり（恐らく波数シフトするものと考えられるが、結果がブロードなため明らかではない）、後者は低波数側へシフトするものと考えられる。図 2 で認められる ν_3 モードの波数がほぼ一定となる組成は、極大点化合物 $\text{PbO}\cdot\text{GeO}_2$ に対応す

ることから、この組成付近ではガラス構造がこの化合物の構造と類似性をもつものと考えられる。この対応性は Morozov らの赤外線による結果²⁶⁾においても認められる。

一方低波数側のバンドは、 GeO_2 ルチル型振動の波数 714 cm^{-1} (波長 $14 \mu\text{m}$)¹²⁾ に近づき、この結果は前報の赤外線の結果においても認められた¹²⁾。また、本系では PbO 濃度 60 mol\% を越えるとガラス状態ができにくくなるが、同じ 4 面体構造単位から成る PbO-SiO_2 系では PbO 濃度 80 mol\% までガラス状態となる。このような相違は PbO-GeO_2 系では網目構造を形成する GeO_4 構造単位が PbO 濃度 60 mol\% 以上では異なった構造となるためではないかと考えられる。したがって、以上のことを考え合わせると、本系ガラスでは PbO 濃度が 60 mol\% に近づくと、6 配位 Ge 原子の生成を考える必要があるのではないかと思われる。

3.2 PbO-B₂O₃ 系ガラス

$\text{PbO-B}_2\text{O}_3$ 系ガラスのラマンスペクトルの代表例を図 3 に示した。本図で、 400 cm^{-1} より高波数側のスペクトルは、低波数側のスペクトルの 3 倍の感度で記録したものである。また参考のために、Krogh-Moe²¹⁾ によって Boroxol 骨格振動に帰属された B_2O_3 ガラスのラマンバンドの波数位置を同図の上部に示した。

図 4 には、 PbO 濃度に対する高波数側のバンドのピーク位置の変化傾向を示した。

3.2.1 B₂O₃ ガラス B_2O_3 ガラスでは、 806 cm^{-1} に非常に強いラマンバンドが現われ、また 450 , 650 , 1260 及び 1470 cm^{-1} にバンドが現われた。これらのバンドの位置は、Boroxol 骨格によるラマンバンド²¹⁾とほぼ対応している(図 3)。したがって、 B_2O_3 ガラス構造は BO_3 単位が 3 個結合した Boroxol 骨格が支配的であると考えられる。

一方、基本的な単位構造として BO_3 及び BO_4 単位から B_2O_3 ガラスを考えた場合には、その振動数の帰属は、表 1 に示したように与えられている⁸⁾。この帰属は、はじめ Moore ら³⁰⁾によって、赤外線吸収バンドか

Table 1. Assignment of infrared absorption and Raman bands for B_2O_3 (Adams).

Wavelength (μm)	Wavenumber (cm^{-1})	Mode	Active
6.9	1449	ν'_3	IR, R
8.0	1250	ν'_3	IR, R
8.3	1205	$2\nu'_4$	IR, R
9.5	1053	ν_3	IR, R
10.6	944	ν_3	IR, R
11.3	885	ν'_1	R
12.5	800	ν'_1	R
13.9	719	ν'_2	IR

ν'_1 : BO_3 , ν_i : BO_4 , IR: Infrared, R: Raman

ら BF_3 振動の振動数の帰属³¹⁾を参照して与えられ、その後 Adams ら⁸⁾によって BO_4 振動を考慮して修正されたものである。

後述するように、 PbO が添加された場合には、Boroxol 骨格はくずれ、 BO_3 単位と Pb^{2+} イオンの相互作用が推定される。また、 $\text{PbO}\cdot2\text{B}_2\text{O}_3$ の結晶構造は 4 配位ホウ素からなるものとの研究³²⁾があり、したがって BO_4 単位の存在を考える必要がある。そこで、粗い近似であるとは考えられるが、本研究では Boroxol 骨格の基本単位としての BO_3 単位、また 4 配位ホウ素の BO_4 単位から、結果の考察を進めることとした。

Adams らの帰属(表 1)を参考にすると、これらのバンドのうち、 1260 cm^{-1} 及び 1470 cm^{-1} のラマンバンドは BO_3 振動の ν'_3 モードに帰属でき、 650 cm^{-1} のラマンバンドは BO_3 振動の ν'_4 モードに帰属できると考えられる。なお、Adams らは、表 1 の 1250 cm^{-1} 及び 1449 cm^{-1} の両バンドの平均波数 1350 cm^{-1} を 2 重縮重伸縮振動 ν'_3 モードと見なし⁸⁾、両バンドはこれのスプリットしたものと考えているようである。本結果では、この平均波数は 1365 cm^{-1} となる。

806 cm^{-1} のバンドは、表 1 の帰属に従えば BO_4 振動の ν_1 モードに相当する。しかし、このバンドは Boroxol 骨格の特徴的なラマンバンドである²¹⁾。また仮に、 BO_3 単位の全対称伸縮振動 (ν'_1 モード) の力の定数として、Boroxol 骨格における B-O 伸縮振動の力の定数 $6.5 \text{ mdyn}/\text{\AA}^{24)}$ を用いると、後述の方法によって BO_3 振動の ν'_1 モードとして 829.8 cm^{-1} が得られる。したがって、粗い近似では 806 cm^{-1} は BO_4 振動の ν_1 モードとするよりも、 BO_3 振動の ν'_1 モードと考える方がよいようと思われる。

3.2.2 PbO-B₂O₃ 系ガラス PbO が添加された場合、 B_2O_3 ガラスの 1260 cm^{-1} 及び 1470 cm^{-1} (平均波数 1365 cm^{-1}) に対応する波数領域に、ブロードなバンドが現われ、 PbO 濃度 30 mol\% ではバンドのピークは 1350 cm^{-1} である。このバンドは、 PbO 濃度の増加に伴って PbO 濃度 70 mol\% の 1250 cm^{-1} まで低波数側へシフトする。図 4 に示したように、この波数は、極大点化合物 $\text{PbO}\cdot2\text{B}_2\text{O}_3$ に対応する組成付近の数 mol\% の範囲では、ほぼ一定値を示す。また、包晶化合物 $5\text{PbO}\cdot4\text{B}_2\text{O}_3$ 及び $2\text{PbO}\cdot\text{B}_2\text{O}_3$ 組成の付近でも、やや一定波数を示す。この波数シフトの傾向は、赤外線吸収バンド(BO_3 の ν'_3 モード)の波長シフトの傾向¹³⁾と一致する。

B_2O_3 ガラスにおける 806 cm^{-1} のラマンバンドは、 PbO 濃度の増加に伴って急激に減少すると見られる。また PbO が添加された場合、図 3 から見られるように、新しい複雑なバンドが $1000\sim1150 \text{ cm}^{-1}$ に現われる。このバンドは、 PbO 濃度が $0\sim50 \text{ mol\%}$ の範囲ではやや強度を増すように見られ、その後 PbO 濃度が増加する

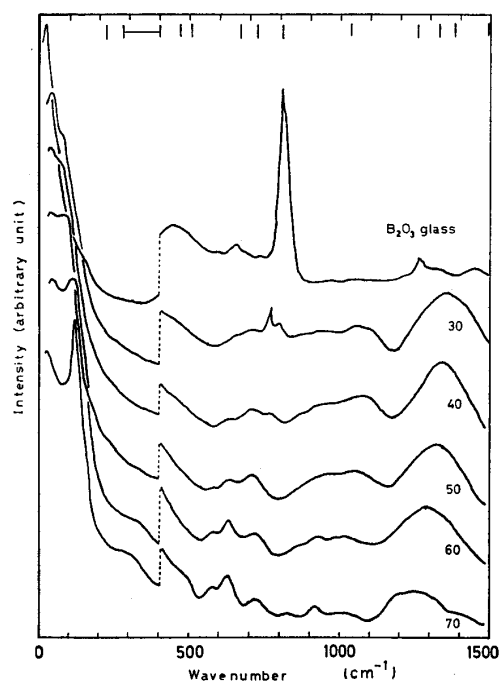


Fig. 3. Raman spectra of grassy $\text{PbO-B}_2\text{O}_3$ system. Spectra at the wavenumber over 400 cm^{-1} were recorded with the sensitivity three times of those at the wavenumber under 400 cm^{-1} . Numerals in the figure show PbO mol\% . The positions of Raman bands for boroxol skeleton assigned by Krogh-Moe are also shown in the upper part of the figure.

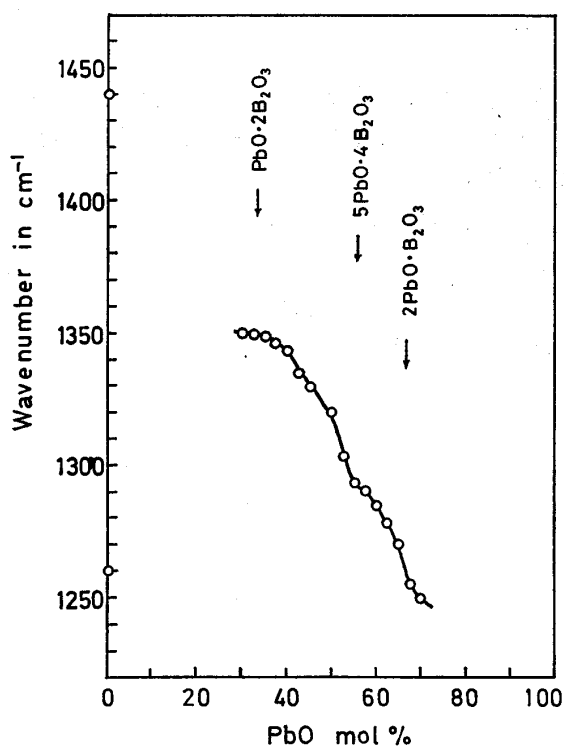


Fig. 4. Relationship between the position of the peak maximum of the high-wavenumber band and composition of glassy $\text{PbO-B}_2\text{O}_3$ system. The compositions of the compounds of this system are also shown.

に伴って減衰する。なお、 $90\sim130 \text{ cm}^{-1}$ 付近に現われる新しいバンドの変化傾向は PbO-SiO_2 系の場合¹⁰⁾に類似しているが、 PbO 濃度の増加に伴う強度の増加は、本系ガラスではやや緩やかである。

以上の結果のうち、 $1000\sim1150 \text{ cm}^{-1}$ に現われるラマンバンドは Boroxol 骨格振動のバンドには認められず、表 1 の BO_4 振動の ν_3 モードの波数 1053 cm^{-1} に対応する。したがって、このバンドの強度変化は BO_4 単位の変化に対応するものとみられ、 BO_4 単位の数が PbO 濃度 50 mol\% 程度まで増加しその後減少するという考え方⁹⁾によって解釈される。この BO_4 単位の存在は、 $\text{PbO}\cdot2\text{B}_2\text{O}_3$ 結晶が 4 配位ホウ素の構造をもつ³²⁾ということからも推定される。

806 cm^{-1} のバンドの減少については次のように考えられる。Boroxol 骨格の三方変角振動は、周囲原子の影響を直接受けないので非常に強いバンドとして現われるとされている²¹⁾。したがって、このバンドが減少することはこの骨格が Pb^{2+} イオンの存在によって崩れることを示唆するものと考えられる。これを BO_3 構造単位からみれば、 BO_3 単位は Pb^{2+} イオンとの相互作用によってその対称性がゆがみ、また PbO から O の原子を取り入れて BO_4 単位のような 4 配位ホウ素の状態を形成するものと考えられる。

このように Boroxol 骨格が崩れるとみられるので、高波数側のブロードなバンドは、粗い近似では BO_3 振動の ν_3' モード（平均波数 1365 cm^{-1} ）と関連づけて考えることができると思われる。したがって、このバンドも Pb^{2+} イオンと BO_3 単位との相互作用によってシフトするものと考えられ、波数がほぼ一定となる組成付近では、対応する化合物の構造とガラス構造が類似しているものと考えられる。

4. 力の定数の算出

4.1 GF マトリックス

イオン間相互作用を考察するため、Wilson の GF マトリックス法³³⁾により力の定数を算出した。分子（又はイオン）内振動の運動エネルギーに関する G マトリックス及びそのポテンシャルエネルギーに関する F マトリックスを用いれば、この振動の固有値は次の永年方程式³³⁾によって表わされる。

$$|GF-E| = 0 \quad (1)$$

ここで E は単位マトリックス、 λ は固有値である。

分子（又はイオン）内の原子間力が化学結合をした原子間の力と、原子価角をある大きさに保とうとする力だけからできているとすれば、 F マトリックスは対角線マトリックスとなる（原子価力の場）³⁴⁾。

4.2 GeO_4 振動の力の定数

対角線マトリックスに上の原子間の力と原子価角をあ

Table 2. Force constants (f_r , f_ϕ , $f_{r\phi}$) calculated for GeO_4 and BO_3 vibrations. The force constants for SiO_4 vibration are also shown for referring to the others (values obtained previously by authors).

(mdyn/Å)

Force const	f_r	f_ϕ	$f_{r\phi}$
GeO_4	5.45	0.55	0.13
BO_3	6.13	0.80	0.76
SiO_4	5.89	0.51	0.11

る大きさに保つ力の結合による相互作用力を考慮した。Wilson の近似法³⁵⁾を用いれば、 T_d 点対称の GeO_4 の振動の G 及び F マトリックスの要素は、以下のような全対称伸縮振動 A_1 型、及び 3 重縮重振動 F_2 型に分けて表わすことができる。

 G マトリックス

$$A_1 \text{ 型 } (G_{11}) = (\mu_O) \quad (2)$$

$$F_2 \text{ 型 } \begin{pmatrix} G_{11} & G_{12} \\ G_{21} & G_{22} \end{pmatrix} = \begin{pmatrix} \mu_O + 4 \mu_{\text{Ge}}/3 & -8 \mu_{\text{Ge}}\rho/3 \\ -8 \mu_{\text{Ge}}\rho/3 & 2 \mu_O\rho^2 + 16 \mu_{\text{Ge}}\rho^2/3 \end{pmatrix} \quad (3)$$

 F マトリックス

$$A_1 \text{ 型 } (F_{11}) = (f_r) \quad (4)$$

$$F_2 \text{ 型 } \begin{pmatrix} F_{11} & F_{12} \\ F_{21} & F_{22} \end{pmatrix} = \begin{pmatrix} f_r & \sqrt{2} f_{r\phi}/\rho \\ \sqrt{2} f_{r\phi}/\rho & f_\phi/\rho^2 \end{pmatrix} \quad (5)$$

ここで μ_O は酸素原子の質量の逆数 ($3.764 \times 10^{22} \text{ g}^{-1}$)、 μ_{Ge} は Ge 原子の質量の逆数 ($0.829 \times 10^{22} \text{ g}^{-1}$)、 ρ は Ge-O 結合距離の逆数 (0.588 \AA^{-1})³⁶⁾、 f_r は Ge-O 伸縮振動の力の定数、 f_ϕ は O-Ge-O 変角振動の力の定数、 $f_{r\phi}$ は伸縮振動と変角振動との結合の力の定数である。

ラマンバンドの波数帰属は、上記のように GeO_2 ガラスについて、 $\nu_1 = 760 \text{ cm}^{-1}$ 、 $\nu_3 = 860 \text{ cm}^{-1}$ 、 $\nu_4 = 410 \text{ cm}^{-1}$ である。これらの振動数を式(1)の固有値 λ ($\lambda = 4\pi^2 c^2 \nu^2$, c : 光速度) に代入し、 GeO_4 振動の力の定数を求めた。

結果を表 2 に示した。 GeO_4 振動の力の定数は、先に報告した SiO_4 振動の力の定数¹¹⁾と比較してほぼ妥当な値であると考えられる。

 BO_3 振動の力の定数

次に、 D_{3h} 点群に属する BO_3 三角形の G 及び F マトリックスの要素は次のように、全対称伸縮振動 A_1' 型及び 2 重縮重振動 E' 型に分けて表わされる。

 G マトリックス

$$A_1' \text{ 型 } (G_{11}) = (\mu_O) \quad (6)$$

$$E' \text{ 型 } \begin{pmatrix} G_{11} & G_{12} \\ G_{21} & G_{22} \end{pmatrix} = \begin{pmatrix} \mu_O + 3 \mu_B/2 & 3\sqrt{3} \mu_B\rho/2 \\ 3\sqrt{3} \mu_B\rho/2 & 3 \mu_O\rho^2 + 9 \mu_B\rho^2/2 \end{pmatrix} \quad (7)$$

 F マトリックス

$$A_1' \text{ 型 } (F_{11}) = (f_r) \quad (8)$$

$$\text{E}' \text{ 型 } \begin{pmatrix} F_{11} & F_{12} \\ F_{21} & F_{22} \end{pmatrix} = \begin{pmatrix} f_r & -f_{r\phi}/\rho \\ -f_{r\phi}/\rho & f_\phi/\rho^2 \end{pmatrix} \quad (9)$$

ここで μ_O は酸素原子の質量の逆数、 μ_B はホウ素原子の質量の逆数 ($5.57 \times 10^{22} \text{ g}^{-1}$)、 ρ は B-O 結合距離の逆数 (0.735 \AA^{-1})³⁷⁾、 f_r は B-O 伸縮振動の力の定数、 f_ϕ は O-B-O 変角振動の力の定数、 $f_{r\phi}$ は伸縮振動と変角振動との結合の力の定数である。

BO_3 振動の各バンドの波数は $\nu_1' = 806 \text{ cm}^{-1}$ 、 $\nu_3'' = 1365 \text{ cm}^{-1}$ (平均値) 及び $\nu_4' = 650 \text{ cm}^{-1}$ として力の定数を見積った。 BO_3 振動の力の定数は表 2 に示したように得られた。B-O 伸縮振動の力の定数 $f_r = 6.13 \text{ mdyn/}\text{\AA}$ は、Boroxol 骨格から計算された値 $f_{\text{B-O}} = 6.5 \text{ mdyn/}\text{\AA}$ とほぼ一致している。

5. まとめ

PbO-GeO_2 及び $\text{PbO-B}_2\text{O}_3$ 系ガラスのラマンスペクトルを測定した。 GeO_2 ガラスでは、 $300 \sim 600 \text{ cm}^{-1}$ (ピークは 410 cm^{-1})、 760 cm^{-1} 、 860 cm^{-1} 及び 970 cm^{-1} にバンドが現われた。これらのバンドは、三方晶 GeO_2 のラマンバンドによくその対応が認められるので、 GeO_2 ガラスは三方晶の単位構造である GeO_4 単位からなるものと考えた。 860 cm^{-1} のバンドは、赤外線吸収バンドの 870 cm^{-1} に対応し、このラマンバンドは GeO_4 振動の ν_3 モードであると考えた。また、 GeO_2 ガラスの 760 cm^{-1} のバンドは、 CO_2 型振動を仮定した近似計算から、 GeO_4 振動の ν_1 モードに帰属できると考えた。

PbO が添加された場合、 750 cm^{-1} から 850 cm^{-1} の付近に現われるバンドは、偏光測定の結果 2 種のバンドに分割される。この中の高エネルギー側のバンドは、 GeO_2 ガラスの 860 cm^{-1} のバンドに対応するものと考えられる。このバンドは、 PbO 濃度の増加に伴って低波数側へシフトするが、バンドの波数は極大点化合物 PbO-GeO_2 に対応する組成数 mol% の範囲ではほぼ一定となるので、この濃度範囲では、ガラスは一定の構造をもつものと考えられる。この構造は、相図との対応から極大点化合物と類似なものと考えた。また、低エネルギー側のバンドも PbO 濃度の増加に伴って低波数側へシフトし、その波数がルチル型 GeO_2 の振動波数に近づくので、 PbO 濃度 60 mol% に近い高濃度側では、6 配位 Ge 原子の生成を考える必要があるのではないかと思われる。

次に、 B_2O_3 ガラスのバンドは 450 cm^{-1} 、 650 cm^{-1} 、 860 cm^{-1} 、 1260 cm^{-1} 及び 1440 cm^{-1} に現われた。この中で 1260 cm^{-1} 及び 1470 cm^{-1} のバンドは、 PbO の添加によってプロードな一つのバンドのようになり、 PbO 濃度の増加に伴って PbO 30 mol% の 1350 cm^{-1} から PbO 70 mol% の 1245 cm^{-1} までシフトした。 1260 cm^{-1} 及び 1470 cm^{-1} のバンドは BO_3 振動の ν_3' モードに対応するものと考えられるので、上記の波数シフトは BO_3

群と Pb^{2+} イオンとの相互作用によるものと考えた。また、このシフトするバンドの波数は、極大点化合物 $PbO \cdot 2B_2O_3$ 組成付近ではほぼ一定値を示した。この振舞から、化合物に対応する組成付近では、ガラスと化合物の構造が類似であると考えた。

文 献

- 1) M.K. Murthy, *J. Ip, Nature*, **201**, 285-86 (1964).
- 2) D.G. Galimov, G.O. Karapetyan, V.K. Pavlovskii and D.M. Yudin (USSR), *Zh. Strukt. Khim.*, **9**, 990-95 (1968).
- 3) 高橋克明, 吉尾哲夫, 窯協, **85**, 65-73 (1977).
- 4) K.S. Evstropiev, *Dokl. Akad. Nayk. SSSR*, **118**, 1104-07 (1969).
- 5) 功刀雅長, “無機材料科学”, 誠文堂新光社 (1972) p. 35.
- 6) P.J. Bray and J.G. O'keefe, *Phys. Chem. Glasses*, **4**, 37-46 (1963).
- 7) P.J. Bray, M. Leventhal and H.O. Hooper, *Phys. Chem. Glasses*, **4**, 47-66 (1963).
- 8) R.V. Adams and R.W. Douglas, *5th Inter. Congress on Glass, Glastechn. Ber.*, **32 K**, 12-24 (1959).
- 9) A. Abou-el-Azm and A.L. Hussein, *5th Inter. Congress on Glass, Glastechn. Ber.*, **32 K**, 66-83 (1959).
- 10) H. Hagiwara and R. Oyamada, *J. Phys. Soc. Japan*, **36**, 917 (1974).
- 11) *ibid.*, **40**, 199-203 (1976).
- 12) *ibid.*, **36**, 517-22 (1974).
- 13) R. Oyamada, H. Hagiwara and T. Kurosawa, *Denki Kagaku*, **41**, 13-16 (1973).
- 14) 功刀雅長, “無機材料科学” 誠文堂新光社, (1972) p. 42.
- 15) E.R. Lippincott, A.V. Valkenburg, C.E. Weir and E.N. Bunting, *J. Res. N.B. S.*, **61**, 61-70 (1958).
- 16) J.F. Scott, *Phys. Rev.*, **B1**, 3488-93 (1970).
- 17) R.L. Mozzi and B.E. Warren, *J. Appl. Cryst.*, **2**, 164-72 (1969).
- 18) 中島昌雄, “分子の対称と群論” 東京化学同人 (1973) p. 35.
- 19) 水島三一郎, 島内武彦, “赤外線吸収とラマン効果” 共立出版 (1970) p. 161.
- 20) 桐山良一, 桐山秀子, “構造無機化学 I” 共立出版 (1970) p. 130.
- 21) J. Krogh-Moe, *Phys. Chem. Glasses*, **6**, 46-54 (1965).
- 22) J. Goubeau and H. Keller, *Z. Anorg. Chem.*, **272**, 303-12 (1953).
- 23) R.L. Mozzi and B.E. Warren, *J. Appl. Cryst.*, **3**, 251-57 (1970).
- 24) L.A. Kristiansen and J. Krogh-Moe, *Phys. Chem. Glasses*, **9**, 96-100 (1968).
- 25) 文献 19) の p. 160.
- 26) V.N. Morozov and N.N. Sharonova, *Optics and Spectroscopy USSR*, **26**, 256-57 (1969).
- 27) 文献 19) の p. 34.
- 28) A.D. Caunt, L.N. Short and L.A. Woodward, *Trans. Farad. Soc.*, **48**, 873 (1952).
- 29) R. Hubin and P. Tarte, *Spectrochimica Acta*, **27 A**, 683-90 (1971).
- 30) H. Moore and P.W. McMillan, *J. Soc. Glass Technol.*, **40**, 97-138 (1956).
- 31) G. Herzberg, “Infrared and Raman Spectra of Polyatomic Molecules” D. Van Nostrand Co. Inc., New York (1945).
- 32) A. Perloff and S. Block, *Acta Cryst.*, **20**, 274-79 (1966).
- 33) E.B. Wilson Jr., J.C. Decius and P.C. Cross, “Molecular Vibrations” McGraw Hill Book Co., New York (1955).
- 34) 文献 19) の p. 143.
- 35) A.G. Meisten and F.F. Cleveland, *Am. J. Phys.*, **14**, 13 (1946).
- 36) J. Zarzycki, *Verres et Refractaires*, **1**, 3-8 (1957).
- 37) 桐山良一, 桐山秀子, “構造無機化学 II” 共立出版 (1970) p. 274.

論文・Paper

粒径多成分系の充てん容積計算法による マグネシア耐火物の充てん性の考察

河村淳一・楠瀬洋・中村康正・山田徳一

(大阪窯業耐火煉瓦(株)研究開発部)

最大粒径 4 mm の, Andreasen の連続粒度分布にしたがう坏土からえられたマグネシア耐火物の棒突き充てん体, プレス成形体及びその焼成体等の充てん性につき, 著者らの方法による計算値と実測値の比較をおこなった。

その結果, 烧成体の最密充てんとなる粒度分布 (q_{pm}) は, 棒突き充てん体, プレス成形体と同様によい一致を示し, 充てん操作の強化と焼成温度上昇による q_{pm} の変化の傾向についてもよい一致を示した。